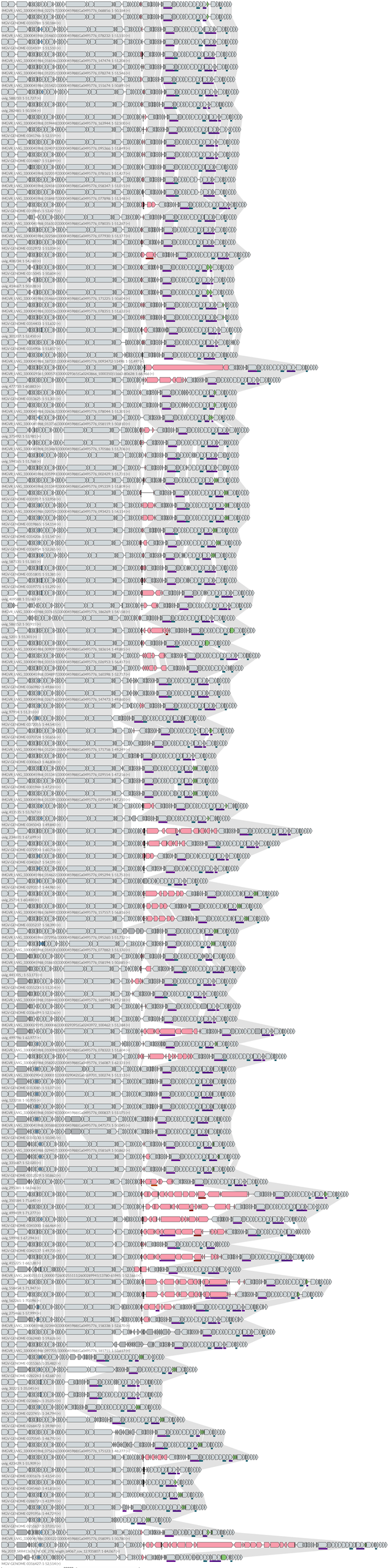
IMGVR_UVIG_3300049988_02270:3300049988|Ga0495776_068856:1-50;384(+)
MGV-GENOME-0335078:1-50;384 (+)
IMGVR_UVIG_3300049988_014603:3300049988|Ga0495776_078232:1-1-53;510(+)
MGV-GENOME-0314319:1-1-53;510 (+)
IMGVR_UVIG_3300049988_018146:3300049988|Ga0495776_147474:1-1-52;604(+)
MGV-GENOME-0314320:1-1-52;604 (+)
IMGVR_UVIG_3300049988_012232:3300049988|Ga0495776_078274:1-1-54;(+)
IMGVR_UVIG_3300049988_015423:3300049988|Ga0495776_151674:1-1-50;89 (+)
unig_588;310:1-51;727(+)
unig_282481:1-51;304 (+)
IMGVR_UVIG_3300049988_019944:3300049988|Ga0495776_163944:1-52;50 (+)
MGV-GENOME-0341746:1-52;59 (+)
IMGVR_UVIG_3300049988_024007:3300049988|Ga0495776_095366:1-51;849 (+)
MGV-GENOME-0314887:1-51;849 (+)
IMGVR_UVIG_3300049988_022009:3300049988|Ga0495776_078161:1-51;427 (+)
IMGVR_UVIG_3300049988_004918:3300049988|Ga0495776_058347:1-51;01 (+)
IMGVR_UVIG_3300049988_018688:3300049988|Ga0495776_078788:1-51;548 (+)
MGV-GENOME-0319868:1-51;547 (+)
IMGVR_UVIG_3300049988_016102:3300049988|Ga0495776_078035:1-51;267 (+)
IMGVR_UVIG_3300049988_022588:3300049988|Ga0495776_077930:1-51;177 (+)
MGV-GENOME-0312972:1-51;036 (+)
unig_408;34:1-54;60 (+)
MGV-GENOME-0313041:1-50;604 (+)
unig_414;67:1-50;28 (+)
IMGVR_UVIG_3300049988_014666:3300049988|Ga0495776_171225:1-51;604 (+)
IMGVR_UVIG_3300049988_033156:3300049988|Ga0495776_078351:1-51;612 (+)
MGV-GENOME-0314403:1-51;810 (+)
unig_301;97:1-52;450 (+)
MGV-GENOME-0314906:1-51;807 (+)
IMGVR_UVIG_3300049988_187703:3300049988|Ga0495776_0093472:1-51;499 (+)
IMGVR_UVIG_3300049988_000000:3300049988|Ga0495776_0110970:1-1-51;499 (+)
IMGVR_UVIG_3300039936_000919:3300039936|Ga0424866_1000355:1660-80628:1-68;766 (+)
unig_477;10:1-81;888 (+)
MGV-GENOME-0313625:1-51;301 (+)
IMGVR_UVIG_3300049988_010606:3300049988|Ga0495776_078044:1-51;318 (+)
IMGVR_UVIG_3300049988_013706:3300049988|Ga0495776_058119:1-50;810 (+)
unig_375;92:1-53;981 (+)
IMGVR_UVIG_3300049988_013487:3300049988|Ga0495776_170586:1-51;706 (+)
unig_594;65:1-51;768 (+)
IMGVR_UVIG_3300049988_010199:3300049988|Ga0495776_002429:1-51;716 (+)
IMGVR_UVIG_3300049988_011369:3300049988|Ga0495776_095339:1-51;8 (+)
MGV-GENOME-0331911:1-53;958 (+)
IMGVR_UVIG_3300049988_020704:3300049988|Ga0495776_093421:1-54;114 (+)
MGV-GENOME-0319865:1-54;114 (+)
MGV-GENOME-0314606:1-51;547 (+)
MGV-GENOME-0318494:1-52;285 (+)
unig_587;11:1-51;181 (+)
MGV-GENOME-0313870:1-51;381 (+)
MGV-GENOME-0319771:1-51;292 (+)
unig_419;88:1-55;460 (+)
IMGVR_UVIG_3300049988_0374:3300049988|Ga0495776_186269:1-54;-58 (+)
unig_586;52:1-50;91 (+)
unig_5201:1-55;301 (+)
IMGVR_UVIG_3300049988_009897:3300049988|Ga0495776_183614:1-49;85 (+)
IMGVR_UVIG_3300049988_031513:3300049988|Ga0495776_026953:1-56;471 (+)
IMGVR_UVIG_3300049988_034897:3300049988|Ga0495776_160398:1-52;717 (+)
MGV-GENOME-0360982:1-49;860 (+)
IMGVR_UVIG_3300049988_026705:3300049988|Ga0495776_147473:1-49;860 (+)
unig_979;4:1-55;31 (+)
MGV-GENOME-0372055:1-44;540 (+)
MGV-GENOME-0370724:1-50;854 (+)
IMGVR_UVIG_3300049988_012341:3300049988|Ga0495776_171758:1-49;247 (+)
MGV-GENOME-0300663:1-46;808 (+)
IMGVR_UVIG_3300049988_011341:3300049988|Ga0495776_029554:1-47;216 (+)
MGV-GENOME-0303944:1-47;210 (+)
IMGVR_UVIG_3300049988_013339:3300049988|Ga0495776_029549:1-47;210 (+)
MGV-GENOME-0340343:1-49;860 (+)
unig_413;-15:1-53;767 (+)
MGV-GENOME-0372918:1-60;736 (+)
IMGVR_UVIG_3300049988_016622:3300049988|Ga0495776_095294:1-1-57;10 (+)
MGV-GENOME-0340267:1-54;191 (+)
IMGVR_UVIG_3300049988_027995:3300049988|Ga0495776_095260:1-51;712 (+)
MGV-GENOME-0340268:1-51;712 (+)
IMGVR_UVIG_3300049988_014103:3300049988|Ga0495776_077882:1-51;136 (+)
IMGVR_UVIG_3300049988_0186:3300049988|Ga0495776_058194:1-50;485 (+)
unig_441;-10;-1-51;171 (+)
MGV-GENOME-0355203:1-51;204 (+)
IMGVR_UVIG_3300049988_018444:3300049988|Ga0495776_168994:1-49;218 (+)
MGV-GENOME-0358699:1-52;116 (+)
IMGVR_UVIG_3300039995_000014:3300039995|Ga0424972_100462:1-51;384 (+)
unig_499;76:1-61;377 (+)
IMGVR_UVIG_3300049988_010098:3300049988|Ga0495776_078322:1-51;604 (+)
IMGVR_UVIG_3300049988_016810:3300049988|Ga0495776_156087:1-62;131 (+)
IMGVR_UVIG_3300039942_000011:3300039942|Ga0_169701_100274:1-51;113 (+)
MGV-GENOME-0313305:1-51;037 (+)
unig_1232;18:1-50;955 (+)
IMGVR_UVIG_3300049988_010047:3300049988|Ga0495776_000837:1-51;075 (+)
IMGVR_UVIG_3300049988_005868:3300049988|Ga0495776_047573:1-50;045 (+)
MGV-GENOME-0319230:1-50;045 (+)
IMGVR_UVIG_3300049988_029457:3300049988|Ga0495776_058169:1-50;862 (+)
unig_331;687:1-52;020 (+)
MGV-GENOME-0313125:1-50;862 (+)
unig_295;181:1-56;068 (+)
unig_200;184:1-75;469 (+)
unig_499;19:1-71;277 (+)
MGV-GENOME-0341000:1-66;444 (+)
unig_599;9:1-67;294 (+)
MGV-GENOME-0342012:1-49;705 (+)
unig_413;225:1-61;281 (+)
IMGVR_UVIG_3300049988_026153:3300049988|Ga0495776_078344:1-51;216 (+)
IMGVR_UVIG_3300039111_000009:3300039111|Ga0308945:13780-65945:1-52;166 (+)
unig_558;154:1-71;947 (+)
unig_562;61:1-70;786 (+)
unig_275;466:1-57;999 (+)
IMGVR_UVIG_3300049988_023443:3300049988|Ga0495776_158338:1-52;670 (+)
MGV-GENOME-0362948:1-59;626 (+)
IMGVR_UVIG_3300049988:097701:3300049988|Ga0495776_181711:1-53;617 (+)
MGV-GENOME-0315863:1-35;882 (+)
MGV-GENOME-0282243:1-42;687 (+)
unig_302:1-35;045 (+)
MGV-GENOME-0238824:1-35;052 (+)
MGV-GENOME-0223965:1-34;396 (+)
MGV-GENOME-0268472:1-39;987 (+)
MGV-GENOME-0370545:1-48;795 (+)
IMGVR_UVIG_3300049988_075624:3300049988|Ga0495776_171123:1-48;277 (+)
unig_423;429:1-55;008 (+)
MGV-GENOME-0305626:1-43;149 (+)
MGV-GENOME-0345460:1-41;818 (+)
MGV-GENOME-0338972:1-43;978 (+)
MGV-GENOME-0291956:1-44;729 (+)
MGV-GENOME-0310657:1-37;050 (+)
IMGVR_UVIG_3300049988_008122:3300049988|Ga0495776_058095:1-50;78 (+)
MGV-GENOME-0316427:1-52;514 (+)
50000 nt
defence (DefenseFinder)
defence (PADLOC)
virulence (VFDB)
anti-defence (dbAPS)
AMR (AMRFinderPlus)
tRNA